

1a)  $Z(R/C) = \frac{R \frac{1}{j\omega C}}{R + \frac{1}{j\omega C}} = \frac{R}{1+j\omega RC}$ ;  $Z_{\text{total}} = R + \frac{R}{1+j\omega RC} = \frac{R(2+j\omega RC)}{1+j\omega RC}$

b)  $I = \frac{V_0}{Z_{\text{total}}} = \frac{(1+j\omega RC) V_0}{(2+j\omega RC) R}$

c)  $I = I_0 \cos(\omega t + \varphi)$  met  $I_0 = \left| \frac{(1+j\omega RC) V_0}{(2+j\omega RC) R} \right| = \frac{V_0}{R} \frac{\sqrt{1+\omega^2 R^2 C^2}}{\sqrt{4+\omega^2 R^2 C^2}}$

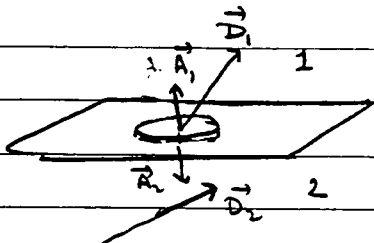
en  $\varphi = \text{artg } \omega RC - \text{artg } \left( \frac{\omega RC}{2} \right)$

d)  $V_A = \frac{Z(R/C)}{Z_{\text{total}}} V_0 = \frac{R}{1+j\omega RC} \frac{(1+j\omega RC) V_0}{R(2+j\omega RC)} = \frac{V_0}{2+j\omega RC}$

2a)  $\frac{1}{C} = \frac{1}{C_1} + \frac{1}{C_2}$   $C_1 = \frac{2\epsilon_0 \epsilon_r A}{d}$   $C_2 = \frac{2\epsilon_0 A}{d}$  ( $A = \text{oppervlak v.d. platen}$ )

$\therefore \frac{1}{C} = \frac{d}{2\epsilon_0 \epsilon_r A} + \frac{d}{2\epsilon_0 A} = \frac{d(\epsilon_r + 1)}{2\epsilon_0 \epsilon_r A} \rightarrow C = \frac{2\epsilon_0 \epsilon_r A}{d(\epsilon_r + 1)}$

b)



Neem platte doos met onder- en boven vlak  $\vec{A}_1$  en  $\vec{A}_2$  aan weerszijden van het oppervlak.

$A_1 = A_2 = A$ ;  $\vec{A}_1 = -\vec{A}_2$

$\oint \vec{D} \cdot d\vec{S} = \vec{D}_1 \cdot \vec{A}_1 + \vec{D}_2 \cdot \vec{A}_2$  (de mantel is verwaarloosbaar!)

$= D_{1n} A_1 - D_{2n} A_2$

$= (D_{1n} - D_{2n}) A$

$\oint \vec{D} \cdot d\vec{S} = q_{\text{vrij}} = 0$  (er is geen vrije lading op het grensvlak)

$D_{1n} = D_{2n}$ , d.w.z. op grensvlak is de normale component van  $D$  continu.

c)  $V = -\int \vec{E} \cdot d\vec{r} = -E_1 \frac{d}{2} - E_2 \frac{d}{2} = -\frac{d}{2} (E_1 + \epsilon_r E_1)$   $E_1 = E$  (diëlectricum)

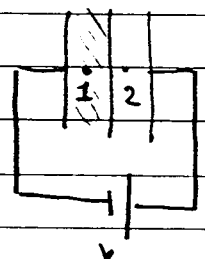
$E_2 = E$  (vacuum)

$D_{1n} = D_{2n} \rightarrow D_1 = D_2 \rightarrow \epsilon_r E_1 = E_2$

$E_1 = -\frac{2V}{d(\epsilon_r + 1)}$ ;  $E_2 = -\frac{2\epsilon_r V}{d(\epsilon_r + 1)}$

$D_1 = \epsilon_0 \epsilon_r E_1 = -\frac{2\epsilon_0 \epsilon_r V}{d(\epsilon_r + 1)}$ ;  $D_2 = \epsilon_0 E_2 = -\frac{2\epsilon_0 \epsilon_r V}{d(\epsilon_r + 1)}$

$P_1 = \epsilon_0 (\epsilon_r - 1) E_1^2 = -\frac{2\epsilon_0 (\epsilon_r - 1) V^2}{d(\epsilon_r + 1)}$ ;  $P_2 = 0$



3a)  $B_n$  is constant op de grensvlakken met die permanente magnet  $\rightarrow$   
de grootte van  $\vec{B}$  is overal hetzelfde.

b)  $\oint \vec{H} \cdot d\vec{L} = 0$  (geen omvatte stroom!)

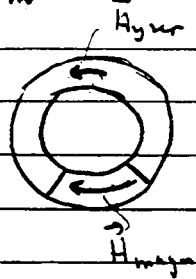
c) (i)  $\vec{B} = \mu_0 \mu_r \vec{H} \rightarrow H_{\text{yzer}} = \frac{B}{\mu_0 \mu_r} = \frac{0,5}{1,26 \times 10^{-6} \times 5 \times 10^3} = 794 \text{ A/m}$   $\vec{H}_y \parallel \vec{B}_y$

(ii)  $\oint \vec{H} \cdot d\vec{L} = 0$   $\left. \begin{array}{l} L_{\text{yzer}} = 3L_{\text{magnet}} \\ (3H_{\text{yzer}} + H_{\text{magnet}})L_{\text{magnet}} = 0 \end{array} \right\}$

$\therefore H_{\text{magnet}} = -3H_{\text{yzer}} = -2381 \text{ A/m}$

d)  $\vec{B} = \mu_0 (\vec{H} + \vec{M}) \rightarrow \vec{M} = \frac{\vec{B}}{\mu_0} - \vec{H}$

$\rightarrow M = \frac{0,5}{1,26 \times 10^{-6}} - (-2381) = 399206 \text{ A/m} \approx 4 \times 10^5 \text{ A/m}$

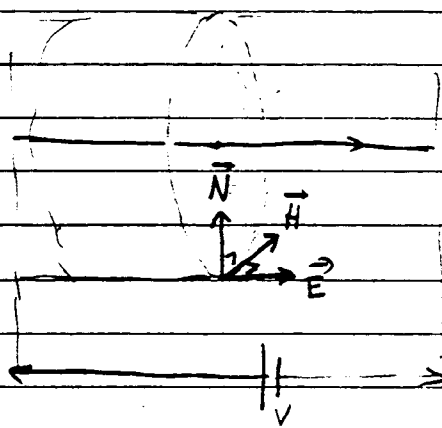


4a)  $\oint \vec{B} \cdot d\vec{S} = \iiint \rho \, d\tau$   $\oint \vec{B} \cdot d\vec{S} = 0$

$\oint \vec{E} \cdot d\vec{L} = -\frac{\partial}{\partial t} \oint \vec{B} \cdot d\vec{S}$   $\oint \vec{H} \cdot d\vec{L} = \iint \vec{j} \cdot d\vec{S} + \iint \frac{\partial \vec{D}}{\partial t} \cdot d\vec{S}$

b)  $\vec{N} = \vec{E} \times \vec{H}$ ; elektromagnetische energie die per tijdschikheid door een oppervlakte stroomt

c)



$E = \frac{V}{L}$   
 $B = \frac{\mu_0 I}{2\pi r} \rightarrow H = \frac{I}{2\pi r}$   $\left. \begin{array}{l} E = \frac{V}{L} \\ B = \frac{\mu_0 I}{2\pi r} \rightarrow H = \frac{I}{2\pi r} \end{array} \right\} N = \frac{VI}{2\pi r}$

$\vec{N}$  is naar de draad toe gericht.

$P = \int \vec{N} \cdot d\vec{S} = \frac{VI}{2\pi r} \cdot \underbrace{2\pi r d}_{\text{oppervlakte van cilindermantel}} = VI$

De energie die de draad in stroomt wordt in warmte omgezet.  
Alternatieve beschrijving voor Ohmse warmte ontwikkeling.